

**LEGEND LÉGENDE**

- Abundant iceberg furrows (>10%) / Sillons d'iceberg abondants (>10%)
- Few iceberg furrows (<10%) / Peu de sillons d'iceberg (<10%)
- Current scour / Trace d'effoulement
- Megalittes / Mégallites
- Shelbed / Lit de coquillage
- Pockmark / Trou
- Sandwave / Ride de sable
- Sandridge / Crête de sable
- Bedrock / Substratum rocheux

**The Zonation of Bedforms on Sable Island Bank and Banqueray**  
Zonation des figures sédimentaires de fond sur le banc de l'île de Sable et Le Banqueray

- Highly energetic wave zone / Zone de vagues à très haute énergie ..... A
- Storm-dominated energetic zone, nearshore / Zone à haute énergie où prédomine l'action des tempêtes, zone littorale ..... B
- Current-dominated energetic zone / Zone à haute énergie où prédomine l'action des courants ..... C
- Storm-dominated intermediate energy zone, shelf / Zone à énergie intermédiaire où prédomine l'action des tempêtes, plate-forme ..... D
- Low energy zone, shelf / Zone à faible énergie, plate-forme ..... E1
- Low energy zone, shelf edge (-100 m) / Zone à faible énergie, rebord de la plate-forme (-100 m) ..... E2
- Low energy zone, shelf / Zone à faible énergie, plate-forme ..... F
- Quiescent zone / Zone calme ..... G

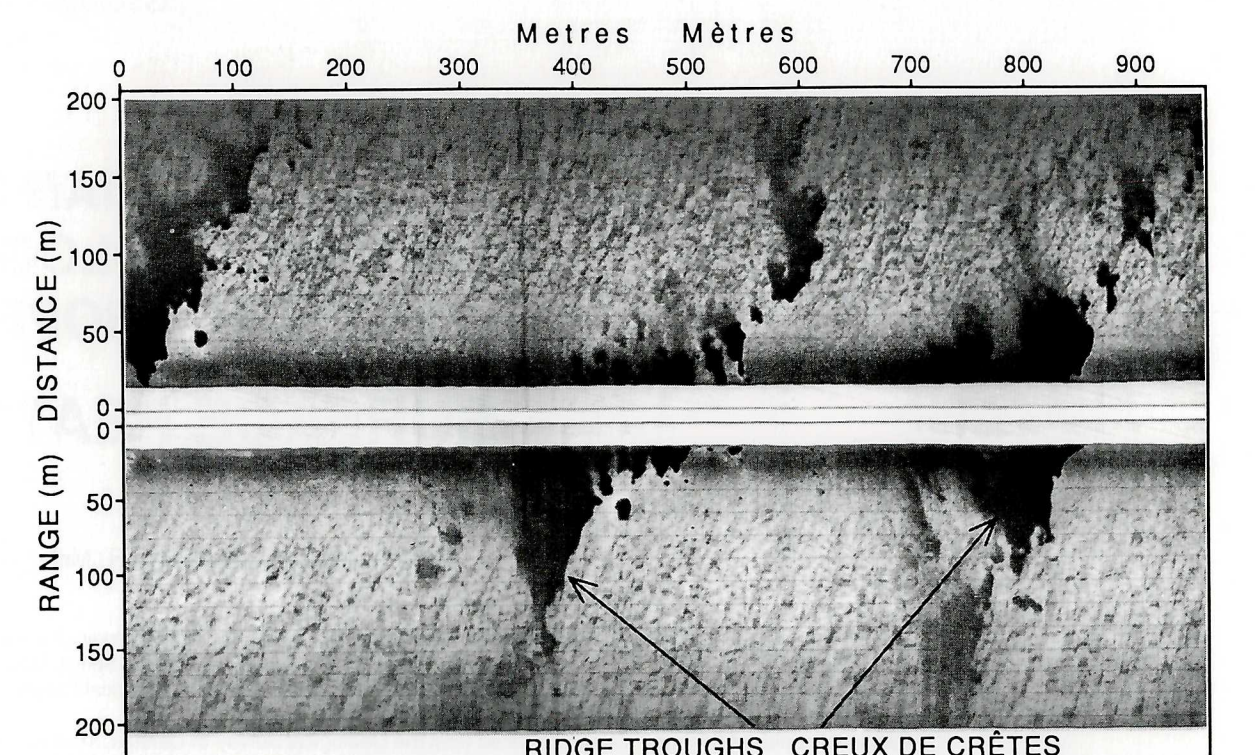


FIGURE 9. A sidescan sonogram of sand ridges, Sable Island Bank; the dark areas are the troughs of the ridges.  
FIGURE 9. Un enregistrement de sonar à balayage latéral de crêtes sableuses, banc de l'île de Sable; les zones sombres représentent les creux des crêtes.

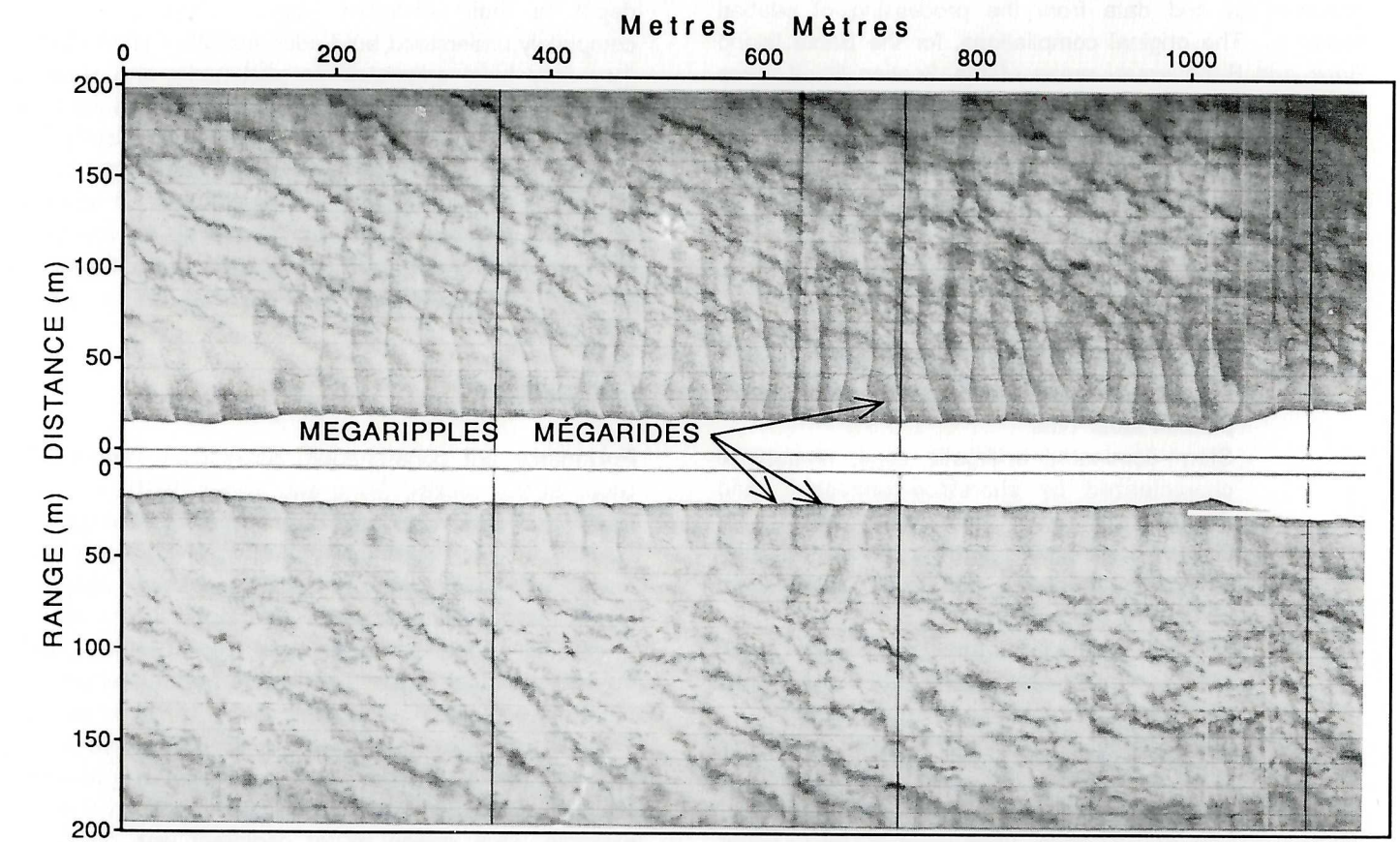


FIGURE 10. A sidescan sonogram of active two-dimensional megaripples, Sable Island Bank  
FIGURE 10. Un enregistrement de sonar à balayage latéral de mégarides actives bidimensionnelles, banc de l'île de Sable

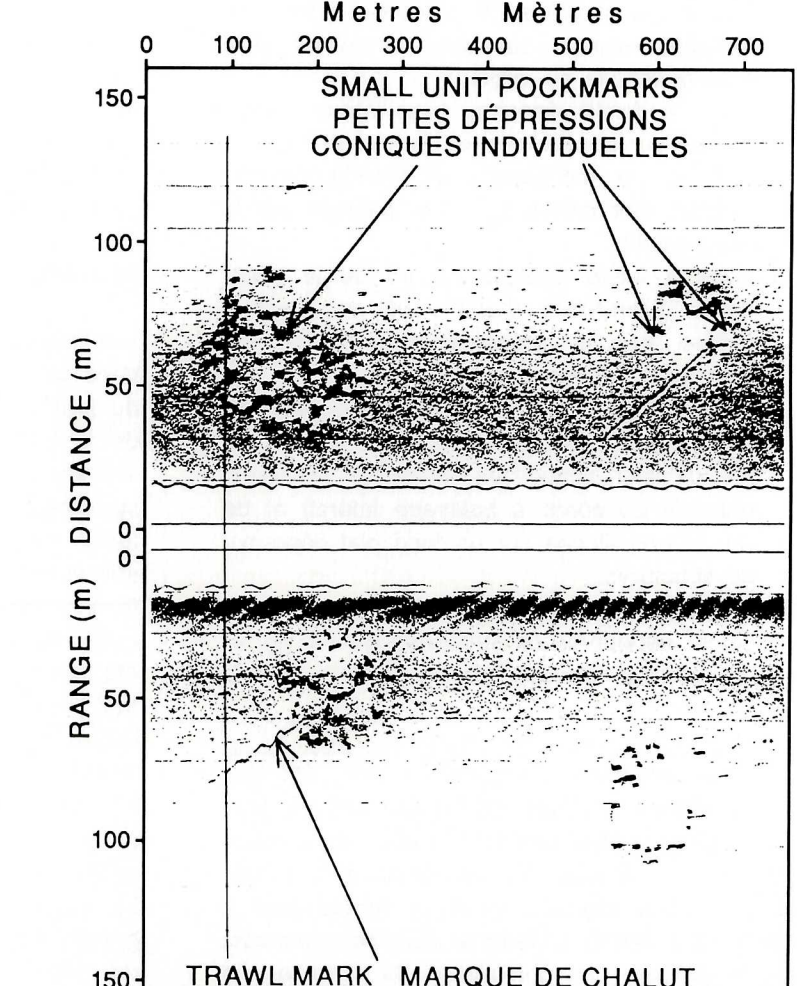


FIGURE 6. A sidescan sonogram shows that large pockmarks are composed of many small pockmarks, LaHave Basin.  
FIGURE 6. Un enregistrement de sonar à balayage latéral montre que les grandes dépressions coniques sont formées de plusieurs petites dépressions, bassin de LaHave.

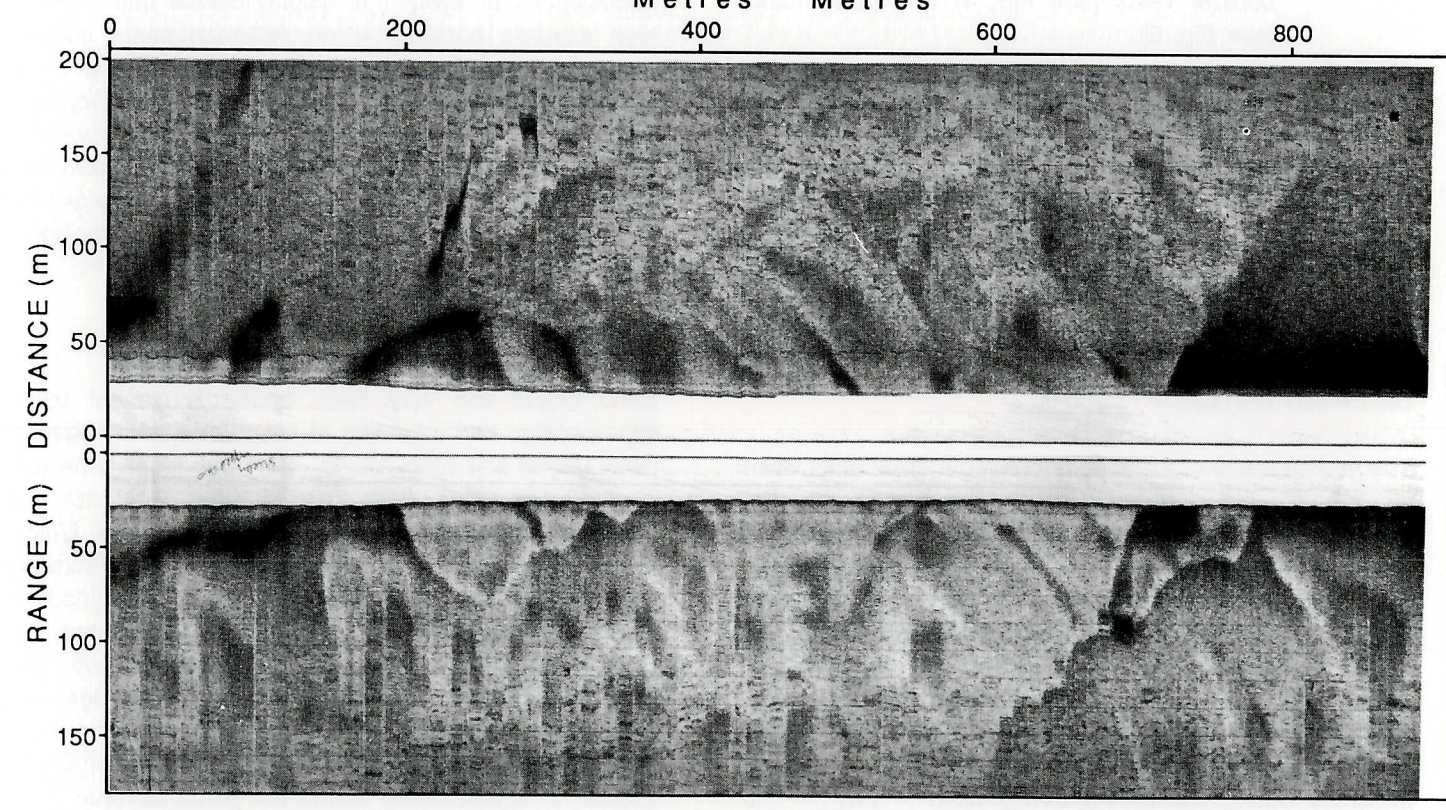


FIGURE 11. A sidescan sonogram of linguoid megaripples superimposed on a low amplitude sand ridge, Banqueray  
FIGURE 11. Un enregistrement de sonar à balayage latéral de mégarides linguoïdes surimposées sur une crête de sable de faible amplitude, Le Banqueray

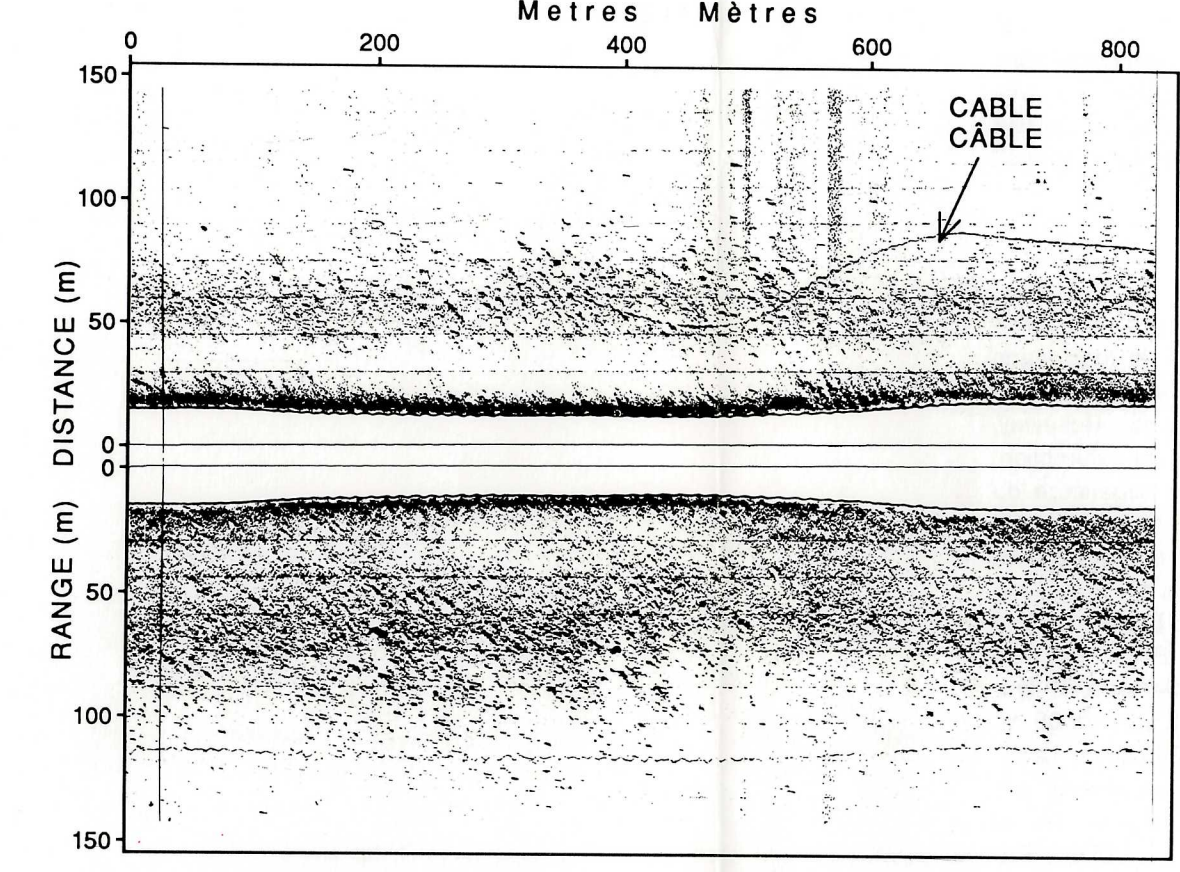


FIGURE 4. A sidescan sonogram displaying a dense distribution of boulders; a telecommunication cable crosses the seabed.  
FIGURE 4. Un enregistrement de sonar à balayage latéral montrant une répartition dense de gros blocs; un câble de télécommunications traverse le fond marin.

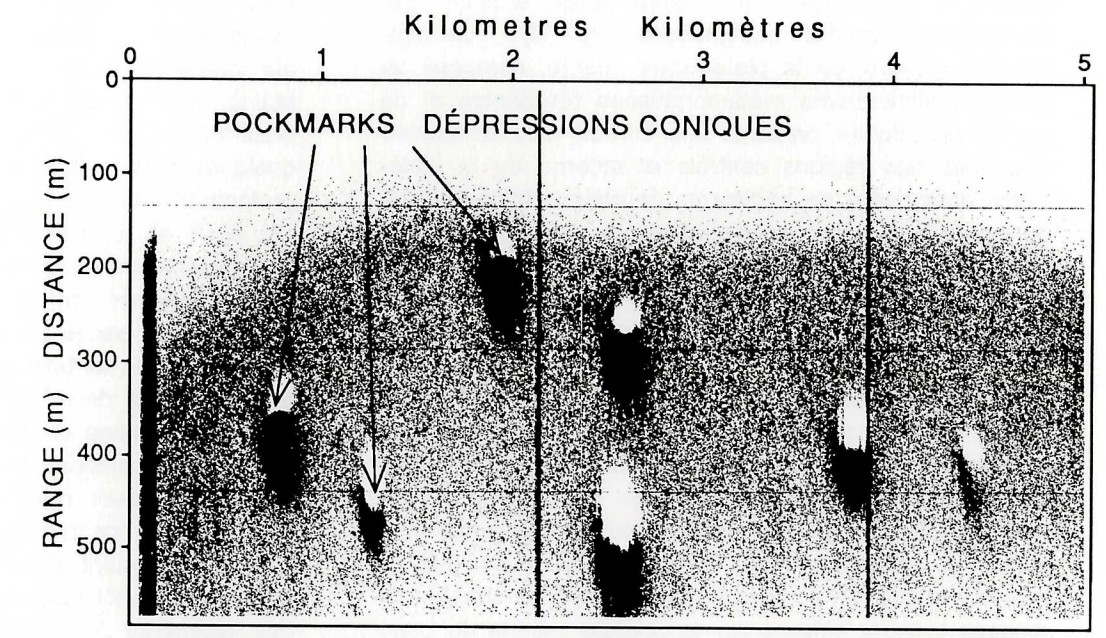


FIGURE 7. A 27-30 kHz sidescan sonogram of pockmarks, Emerald Basin  
FIGURE 7. Un enregistrement de sonar à balayage latéral d'une fréquence de 27 à 30 kHz, bassin d'Émeraude

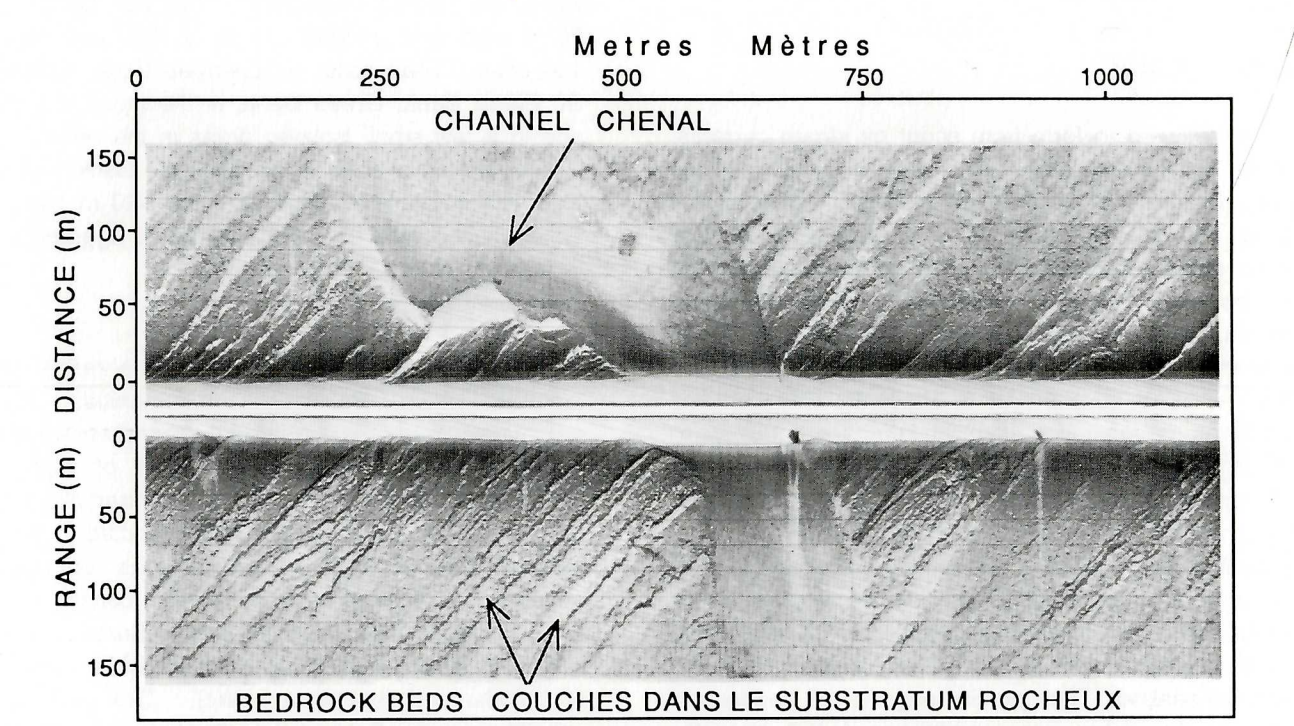


FIGURE 12. A sidescan sonogram showing Carboniferous bedrock exposed at the seabed, inner Cape Breton shelf  
FIGURE 12. Un enregistrement de sonar à balayage latéral montrant le substratum rocheux carbonifère affleurant sur le fond marin, partie interne de la plate-forme du Cap-Breton

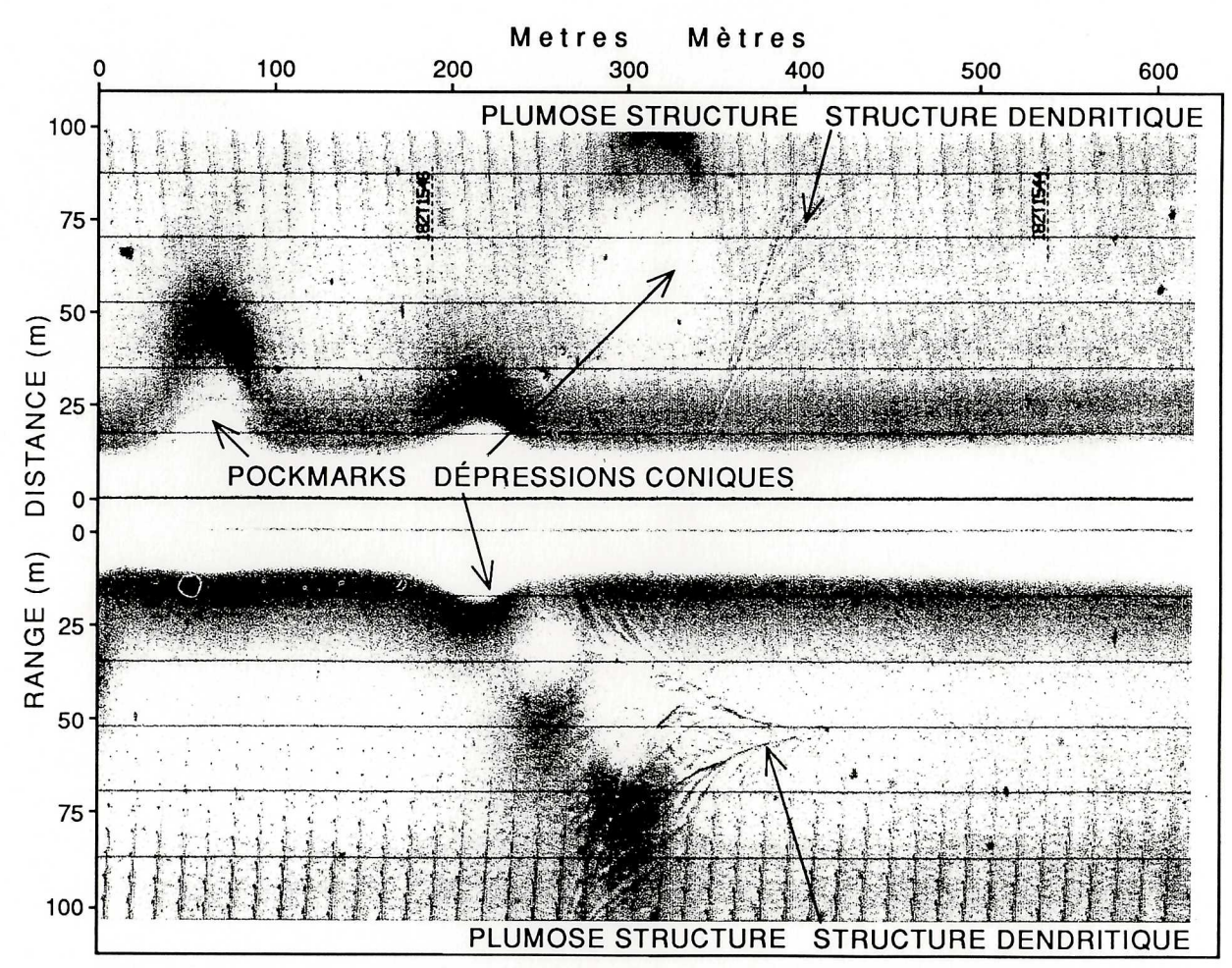


FIGURE 1. A sidescan sonogram showing pockmarks and plumose structures at the seabed, Passamaquoddy Bay  
FIGURE 1. Un enregistrement de sonar à balayage latéral montrant des dépressions coniques et des structures dendritiques sur le fond marin, baie de Passamaquoddy

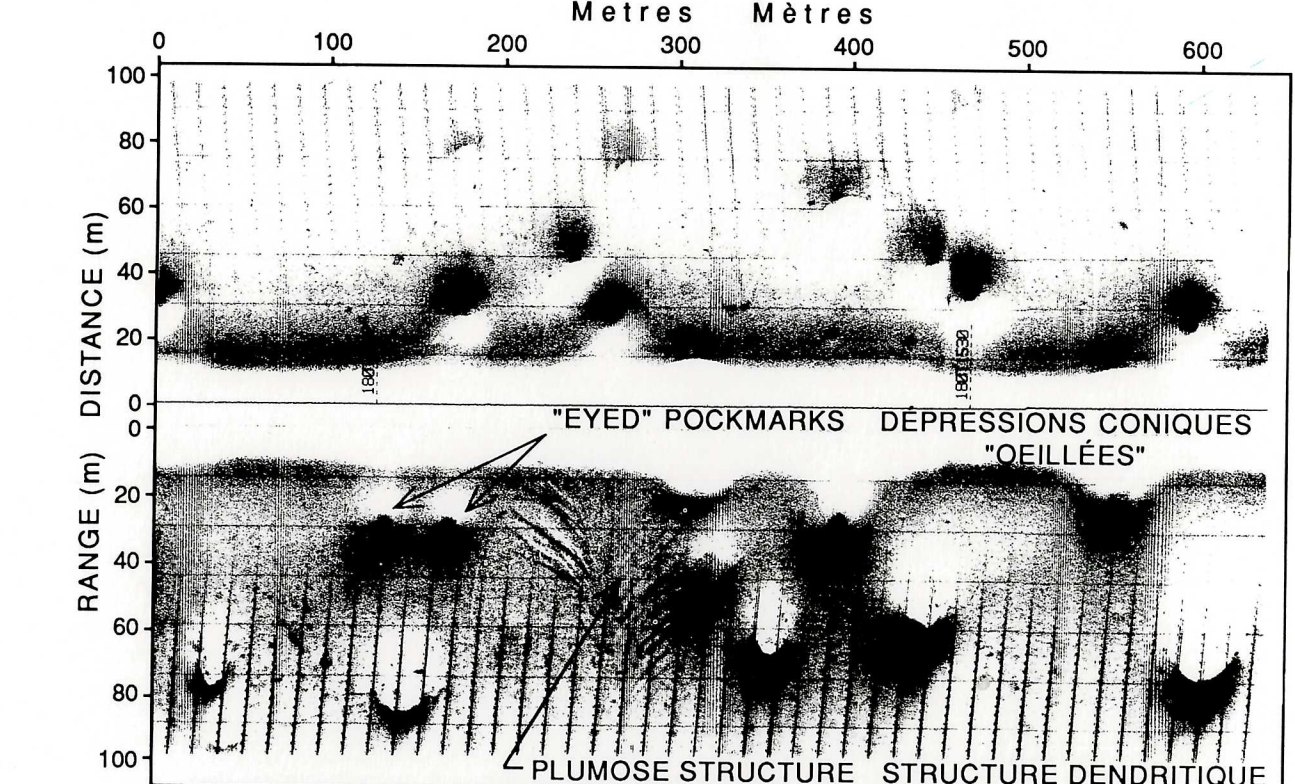


FIGURE 2. A 100 kHz sidescan sonogram showing "eyed" pockmarks and plumose structures, Passamaquoddy Bay  
FIGURE 2. Un enregistrement de sonar à balayage latéral de 100 kHz montrant des dépressions coniques "oeillées" et des structures dendritiques, baie de Passamaquoddy

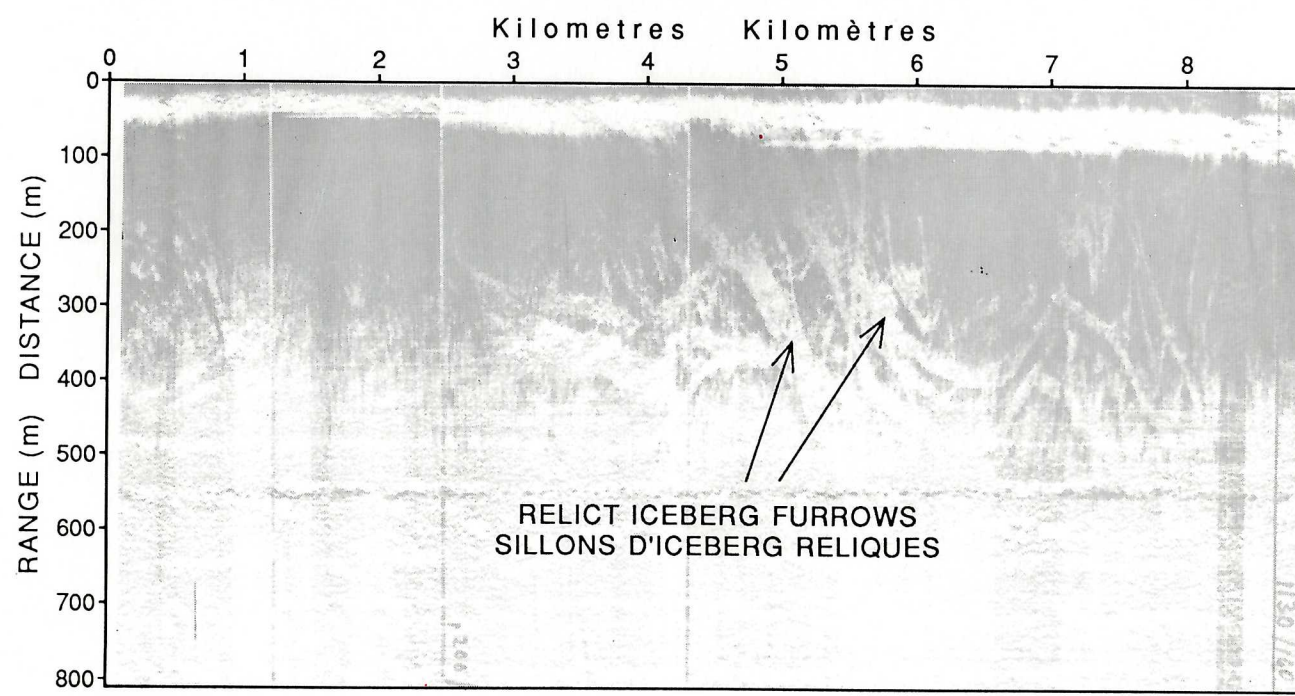


FIGURE 3. A sidescan sonogram of relict iceberg furrows, western Scotian Shelf  
FIGURE 3. Un enregistrement de sonar à balayage latéral de sillons d'iceberg reliques, partie ouest de la plate-forme Néo-Écossaise

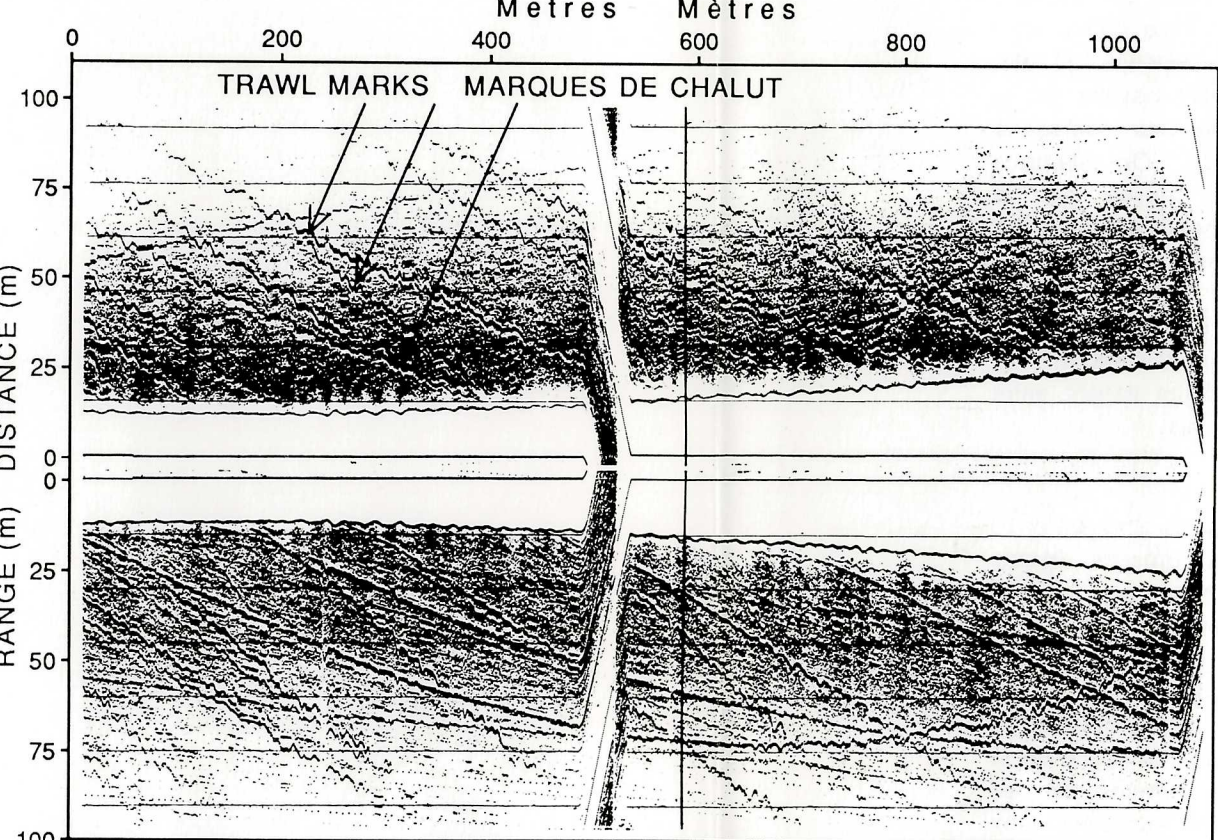


FIGURE 5. A sidescan sonogram of the LaHave Clay showing abundant trawl marks, LaHave Basin  
FIGURE 5. Un enregistrement de sonar à balayage latéral de l'Argile de LaHave couverte de traces de chalut, bassin de LaHave

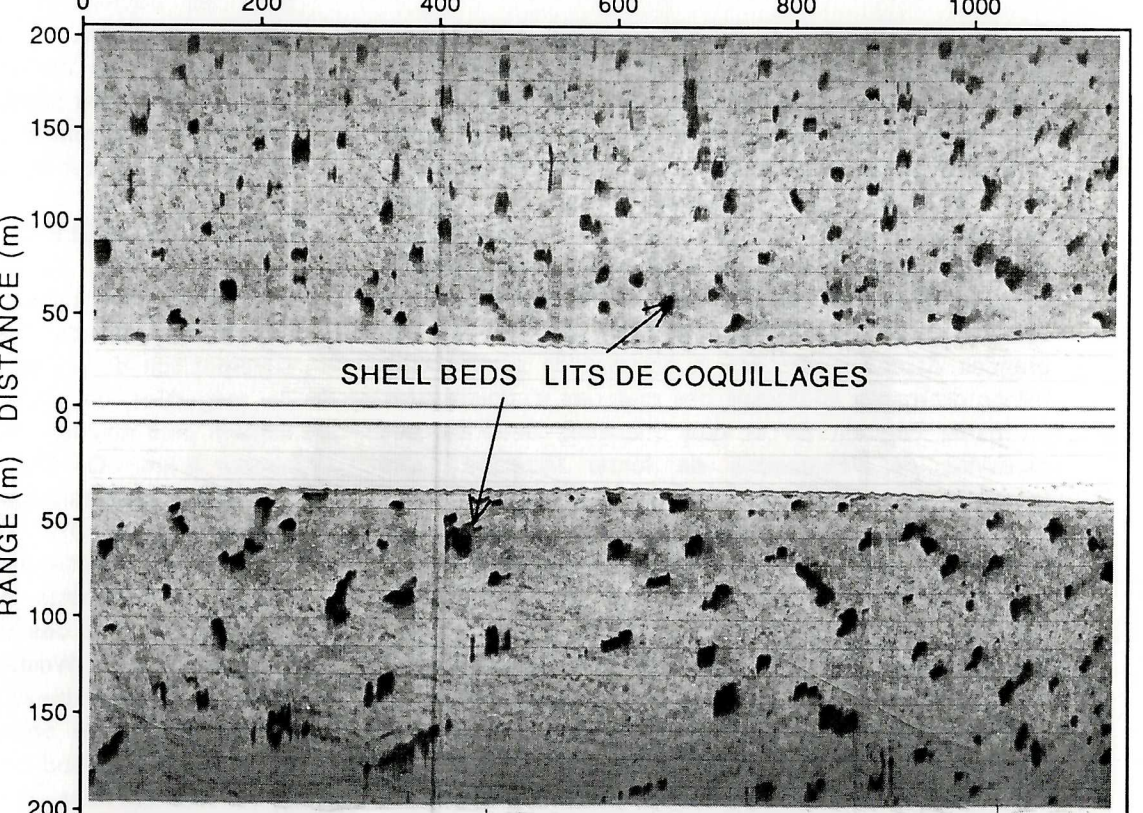


FIGURE 8. A sidescan sonogram showing "specs" or "shell beds", interpreted to be benthic communities at the seabed, Sable Island Bank  
FIGURE 8. Un enregistrement de sonar à balayage latéral illustrant des taches ou des lits de coquillages interprétés comme des communautés benthiques du fond marin, banc de l'île de Sable

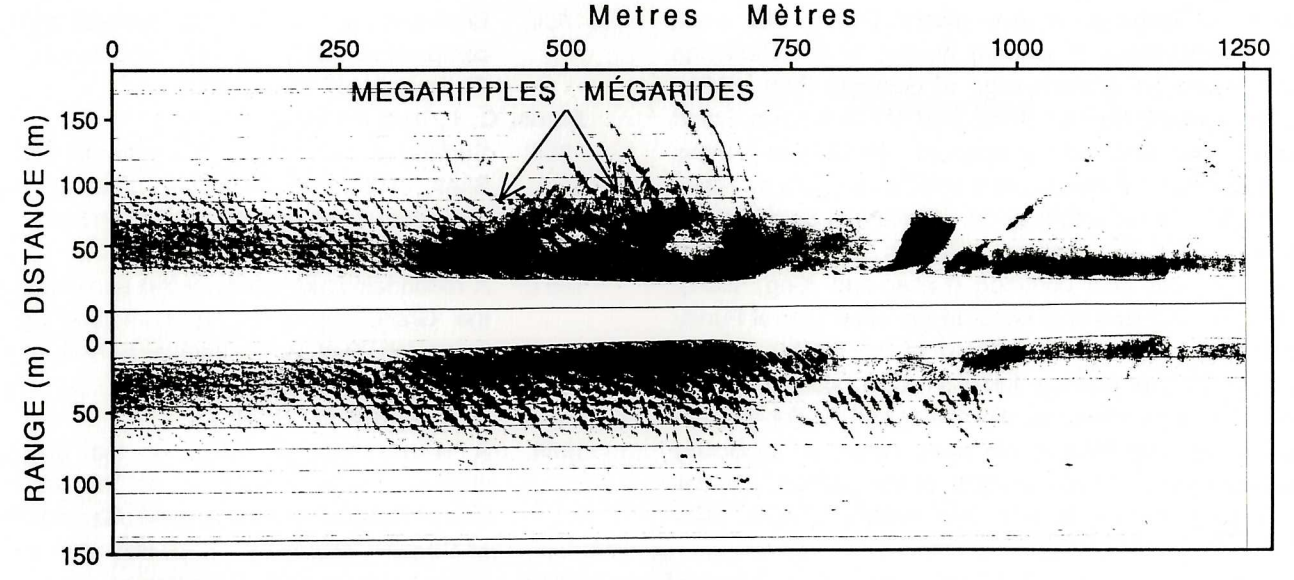


FIGURE 13. A sidescan sonogram of megaripples in sand, Cape Breton shelf  
FIGURE 13. Un enregistrement de sonar à balayage latéral montrant des mégarides dans du sable, plate-forme du Cap Breton

**SCOTIAN SHELF SURFICIAL GEOLOGY AND PHYSICAL PROPERTIES SURFACE FEATURES** 4 **PLATE-FORME NÉO-ÉCOSSAISE GÉOLOGIE DES FORMATIONS EN SURFACE ET PROPRIÉTÉS PHYSIQUES STRUCTURES SUPERFICIELLES**

This map has been produced from a scanned version of the original map. Reproduction par numérisation d'une carte sur papier.